

Quelques aspects pratiques
de la
méthode des Eléments Finis

Maillage

Création de maillages triangulaires : on peut utiliser le logiciel `emc2`

Structure d'un fichier `toto.amdba` généré par `emc2`

```

21 28 -- nbs,nbt
      1  1.8462181E-02  -3.8533497E+00    0
      2  -3.8346165E-01  -2.3533497E+00    1
      3  -1.4815379E+00  -1.2552733E+00    1
      . . . .
     20  -1.8798810E+00  -3.8135126E+00    0
     21  -2.4839835E+00  -2.4373295E+00    0
  1     10     14     9         1
  2     15     20     14        1
  3     18     13     17        1
  . . . .
 27     21     3      4         1
 28     18     21     19        1

```

Maillage

Structure d'un fichier `toto.amdba` généré par `emc2`

```
Nbre_noeuds  Nbre_triangles
```

```
Pour i = 1, ..., Nbre_noeuds
```

```
  i  Coor_Noeud(i,1)  Coor_Noeud(i,2)  Ref_noeud(i)
```

```
Pour l = 1, ..., Nbre_triangles
```

```
  l  Num_Sommet(1,1)  Num_Sommet(1,2)  Num_Sommet(1,3)  Ref_triangle(l)
```

`Ref_noeud(i)` indique si le noeud `i` est un noeud de frontière ou pas

`Ref_triangle(l)` indique dans quel domaine se trouve le triangle `l`

Maillage

Structure d'un fichier `toto.msh` généré par `emc2`

```

21 28 12
  1.846218E-02  -3.853350E+00    0
-3.834617E-01  -2.353350E+00    1
-1.481538E+00  -1.255273E+00    1
...
-1.879881E+00  -3.813513E+00    0
-2.483984E+00  -2.437330E+00    0
  10    14     9     1
  15    20    14     1
  18    13    17     1
...
  21     3     4     1
  18    21    19     1
   1     2     1
   2     3     1
.....
  11    12     1
  12     1     1

```

Maillage

Structure d'un fichier `toto.msh` généré par `emc2`

```
Nbre_noeuds  Nbre_triangles  Nbre_aretes_interfaces
Pour i = 1, ..., Nbre_noeuds
    Coor_Noeud(i,1)  Coor_Noeud(i,2)  Ref_noeud(i)
Pour l = 1, ..., Nbre_triangles
    Num_Sommet(l,1)  Num_Sommet(l,2)  Num_Sommet(l,3)  Ref_triangle(l)
Pour k = 1, ..., Nbre_aretes_interfaces
    Num_Sommet_A(k,1)  Num_Sommet_A(k,2)  Ref_arete(k)
```

Structure d'un programme Éléments Finis

Etape 1 Lecture du maillage.

a - Lecture des tableaux :

Coor_Noeud(1:Nbre_noeuds, 1:2)

Num_Sommet(1:Nbre_triangles, 1:3)

Ref_noeud(1:Nbre_noeuds)

...

b - Création des degrés de libertés (ddl)

Coor_ddl(1:Nbre_ddls, 1:2)

Num_ddl(1:Nbre_triangles, 1:N_ddls_triangle)

(numérotation globale des ddl par triangles)

Remarque : Pour les éléments finis P_1 :

Coor_ddl = Coor_Noeud ; Num_ddl = Num_Sommet

Structure d'un programme Eléments Finis

Etape 2 : Calcul et assemblage de la matrice : $A_{I,J} = a(w_J, w_I)$

A = sparse(Nbre_ddls, Nbre_ddls) (*déf. matrices creuses sous matlab*)

Pour l = 1, Nbre_triangles (*boucle sur les triangles*)

 Pour i = 1, Nbre_ddls_triangle

 Pour j = 1, Nbre_ddls_triangle

 Calcul des $A^l(i, j) = a(\tau_j^l, \tau_i^l)$

 I = Num_ddl(1, i)

 J = Num_ddl(1, j)

$A_{I,J} = A_{I,J} + A^l(i, j)$

 Fin boucle j

 Fin boucle i

Fin boucle l

Structure d'un programme Eléments Finis

Etape 3 : Calcul et assemblage du second membre : $F_I = \ell(w_I)$

F = 0

Pour l = 1, Nbre_triangles (*boucle sur les triangles*)

 Pour i = 1, Nbre_ddls_triangle

 Calcul de $F_i^l = \ell(\tau_i^l)$

 I = Num_ddl(l, i)

$F_I = F_I + F_i^l$

 Fin boucle i

Fin boucle l

Structure d'un programme Eléments Finis

Etape 4 : Prise en compte des conditions aux limites de Dirichlet

Pour les ddl I qui sont sur un bord de Dirichlet

- on met à zéro le second membre F_I
- on met à zéro les termes extra-diagonaux sur la I ème ligne et la I ème colonne de A .

Pour $I = 1, \text{Nbde_ddl}$

IF (ref_ddl(I) == ref bord de Dirichlet) THEN

$$F_I = 0$$

$$A_{I,J} = A_{J,I} = \delta_{I,J} A_{I,I}$$

END

Fin boucle I

Structure d'un programme Eléments Finis

Etape 5 : Résolution du système linéaire :

$$AU = F$$

On résout le système sans calculer l'inverse de la matrice !

Exemple : par élimination de Gauss (factorisation LU)

$$U = A \setminus F ; \text{ (sous matlab)}$$

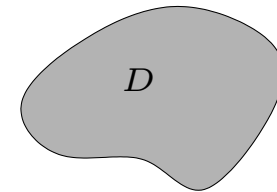
Etape 6 : Ecriture (et visualisation) de la solution

Exemple sous matlab

```
trisurf(Num_Sommet(:,1:3),Coor_Noeud(:,1),Coor_Noeud(:,2), U);  
view(2);  
shading interp;
```

Résolution d'un problème de diffraction

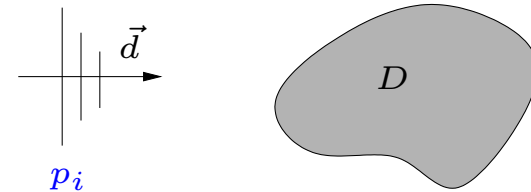
$$\begin{cases} \Delta p + k^2 p = 0 & \text{dans } \mathbb{R}^2 \setminus D \\ p = 0 & \text{sur } \partial D \end{cases}$$



On décompose la solution en la somme : $p = p_i + p_s$

Résolution d'un problème de diffraction

$$\begin{cases} \Delta p + k^2 p = 0 & \text{dans } \mathbb{R}^2 \setminus D \\ p = 0 & \text{sur } \partial D \end{cases}$$



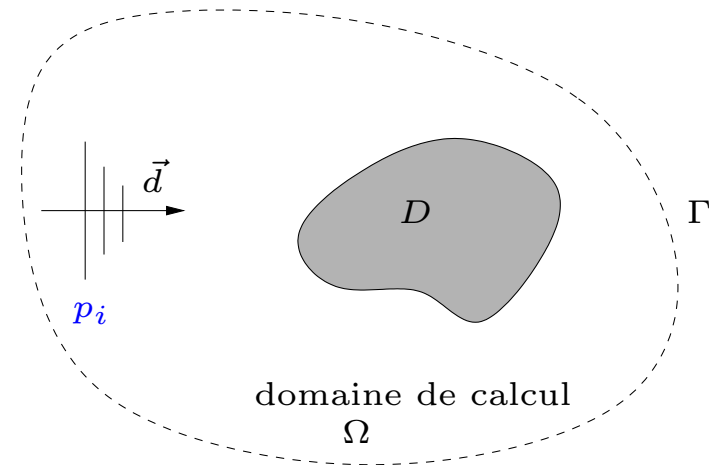
On décompose la solution en la somme : $p = p_i + p_s$

p_i : onde incidente (par exemple, une onde plane : $p_i(\vec{x}) = e^{ik\vec{x}\cdot\vec{d}}$; $|\vec{d}| = 1$).

p_s : onde diffractée

Résolution d'un problème de diffraction

$$\begin{cases} \Delta p + k^2 p = 0 & \text{dans } \mathbb{R}^2 \setminus D \\ p = 0 & \text{sur } \partial D \end{cases}$$



On décompose la solution en la somme : $p = p_i + p_s$

p_i : onde incidente (par exemple, une onde plane : $p_i(\vec{x}) = e^{ik\vec{x}\cdot\vec{d}}$; $|\vec{d}| = 1$).

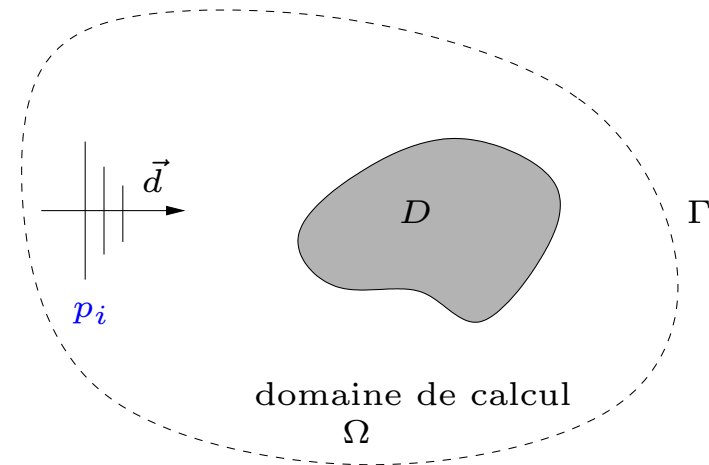
p_s : onde diffractée

On borne le domaine de calcul par une frontière fictive Γ

Condition d'onde sortante : $\frac{\partial p_s}{\partial n} - ikp_s = 0$ sur Γ

Résolution d'un problème de diffraction

$$\left\{ \begin{array}{ll} \Delta p_s + k^2 p_s = 0 & \text{dans } \Omega \\ p_s = -p_i & \text{sur } \partial D \\ \frac{\partial p_s}{\partial n} - ik p_s = 0 & \text{sur } \Gamma \end{array} \right.$$



On décompose la solution en la somme : $p = p_i + p_s$

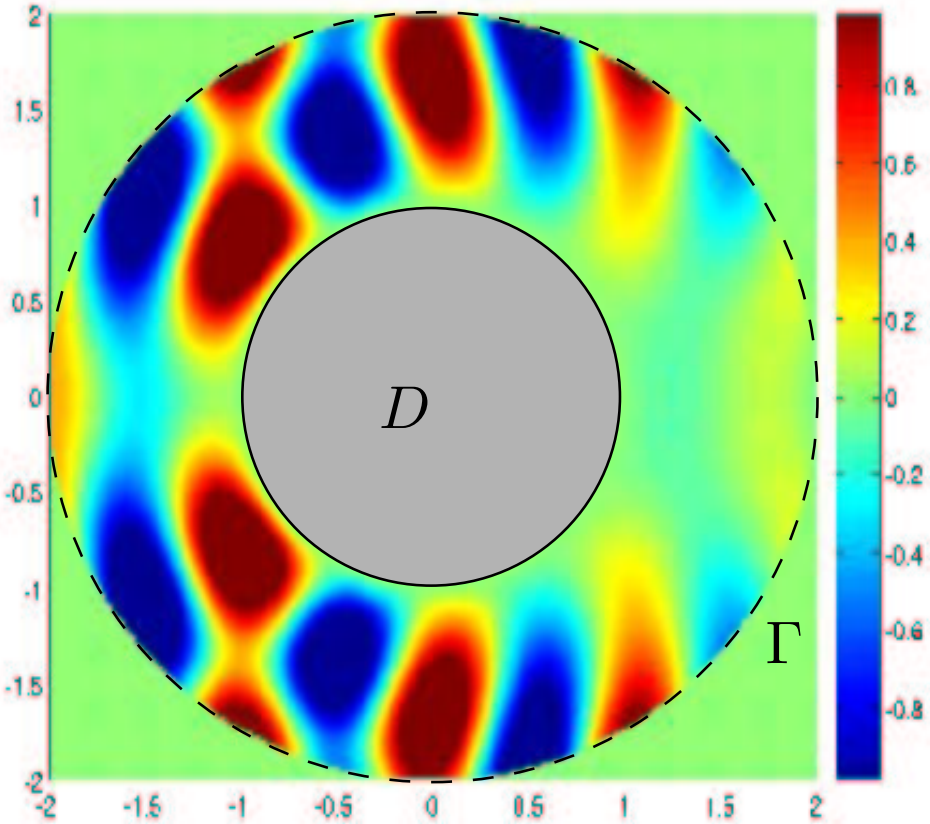
p_i : onde incidente (par exemple, une onde plane : $p_i(\vec{x}) = e^{ik\vec{x}\cdot\vec{d}}$; $|\vec{d}| = 1$).

p_s : onde diffractée

On borne le domaine de calcul par une frontière fictive Γ

Condition d'onde sortante : $\frac{\partial p_s}{\partial n} - ik p_s = 0$ sur Γ

Exemple de géométries régulières



Partie réelle de la solution (E.F. P2)

Courbes de convergence en géométries régulières

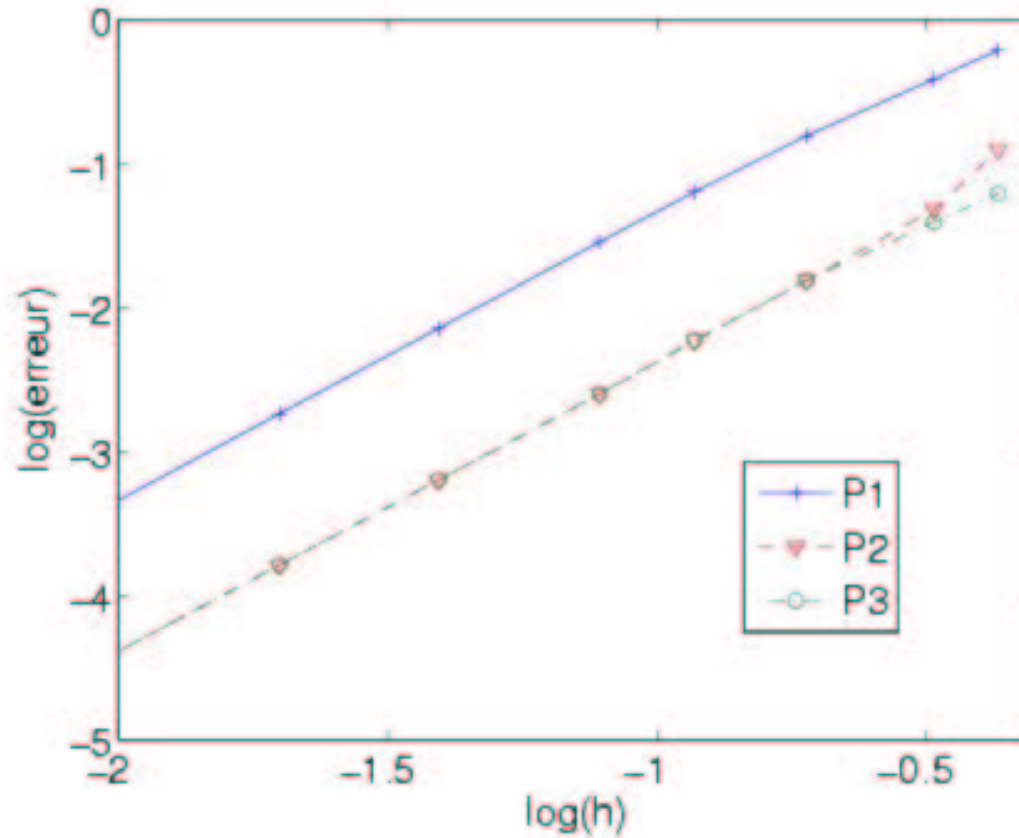
Rappel : si p_h^k est la solution approchée calculée avec les E.F. P_k ,

$$\|p - p_h^k\|_{H^1(\Omega)} \underset{h \rightarrow 0}{\sim} C h^k \|p\|_{H^{k+1}(\Omega)}$$

$$\log(\|p - p_h^k\|_{H^1(\Omega)}) \underset{h \rightarrow 0}{\sim} k \log(h) + \log(C \|p\|_{H^{k+1}(\Omega)})$$

$$\log(h) \mapsto \log(\|p - p_h^k\|_{H^1(\Omega)}) \underset{h \rightarrow 0}{\sim} \text{droite de pente } k$$

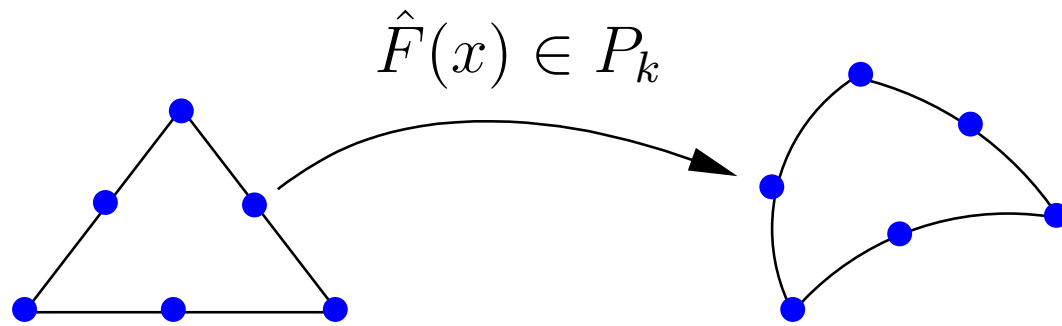
Courbes de convergence pour des géométries régulières



E.F. de Lagrange P_k

L'erreur d'approximation géométrique empêche l'obtention d'une convergence en $O(h^k)$

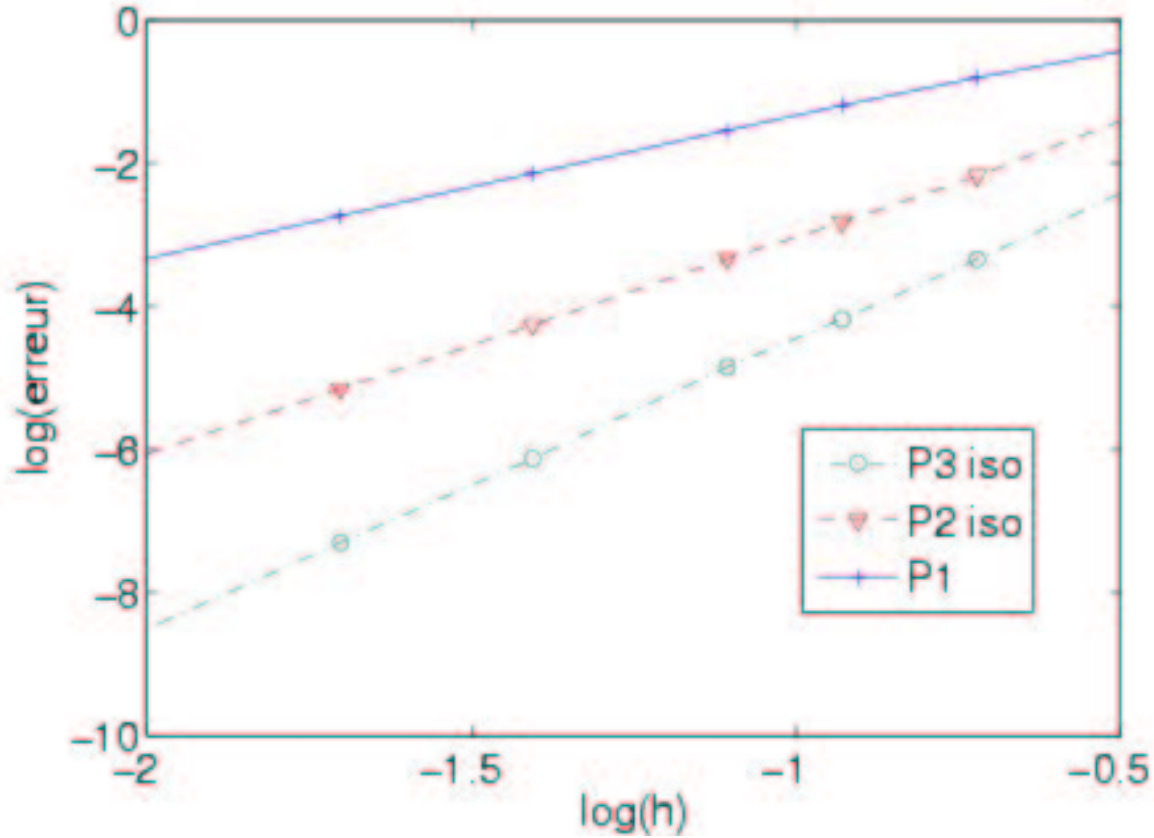
E.F. isoparamétriques



E.F. de référence

E.F. isoparamétrique

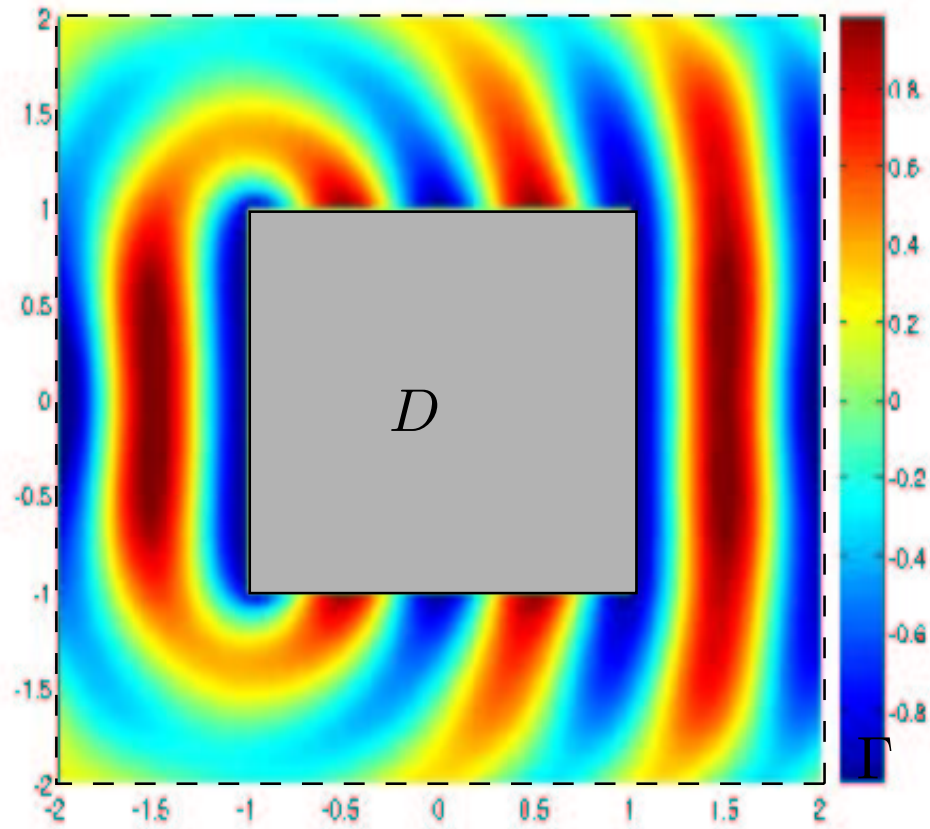
Courbes de convergence pour les E.F. iso.



E.F. courbes (isoparamétriques)

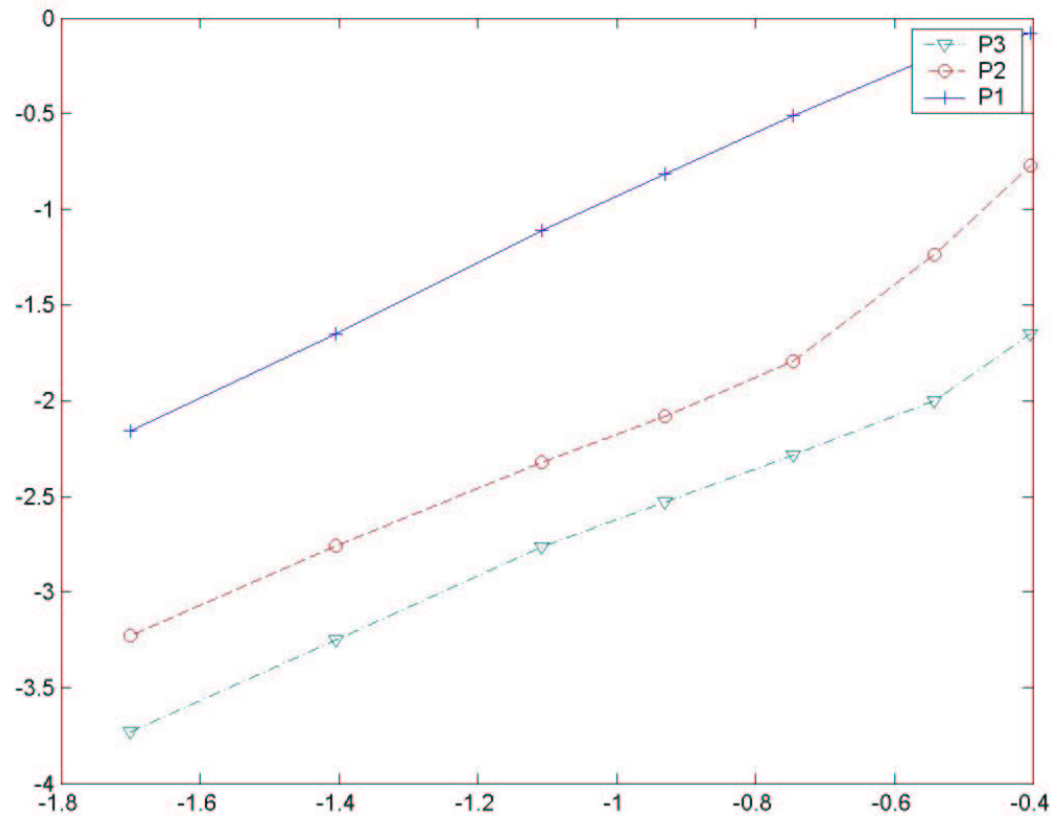
On récupère un ordre de convergence en $O(h^k)$

Exemple de géométries non régulières



Module du champ électrostatique (E.F. P2)

Courbes de convergence en présence de coins



E.F. courbes (isoparamétriques)

La solution $\notin H^s$, $s \geq 2 \Rightarrow$ même vitesse de convergence pour les E.F, P_k , $k > 1$.